

بررسی پارامترهای سینتیک اکسیداسیون روغن سویا تحت تاثیر غلظت‌های مختلف اسید گالیک

زهرا پورفلاح^{۱*}، امیرحسین الهامی راد^۲، سیدمحمد مشکانی^۱، منیره نهاردانی^۱ و مرتضی محمدی^۱

تاریخ دریافت: ۸۹/۱/۲۹ تاریخ پذیرش: ۹۱/۶/۱۸

^۱ دانش آموخته کارشناسی ارشد گروه علوم و صنایع غذایی دانشگاه آزاد اسلامی واحد سبزوار

^۲ استادیار گروه علوم و صنایع غذایی دانشگاه آزاد اسلامی واحد سبزوار

* مسئول مکاتبات: E-mail:zahrapourfallah@yahoo.com

چکیده

در این پژوهش، پارامترهای سینتیک اکسیداسیون روغن سویا تحت تاثیر ۳ غلظت مختلف از آنتی اکسیدان اسید گالیک (۱۰۰، ۲۰۰ و ۳۰۰ ppm) به همراه شاهد در ۳ دمای ۳۸۳، ۴۰۳ و ۴۲۳ (K) توسط دستگاه رنسیمت مورد بررسی قرار گرفت. فاکتورهای مورد محاسبه ضریب دما (T_{coeff})، ثابت ویژه واکنش (A)، انرژی فعال سازی (E_a)، آنتالپی (ΔH^{++}) و آنتروپی (ΔS^{++}) بوده که بر اساس معادلات آرنیوس و وانت هووف و معادله ای ایرینگ محاسبه شده‌اند. بطور کلی سرعت اکسیداسیون با افزایش دما، افزایش یافته و یک رابطه‌ی لگاریتمی بین آنها برقرار است و پایداری روغن تحت تاثیر افزایش غلظت آنتی اکسیدان، افزایش یافت. نتایج نشان داد که اختلاف معنی داری در ضریب دما، آنتالپی، انرژی فعال سازی و ثابت ویژه واکنش در نمونه کنترل و نمونه‌های حاوی آنتی اکسیدان مشاهده شد. بین نمونه‌های حاوی ۲۰۰ و ۳۰۰ ppm آنتی اکسیدان اختلاف مشاهده نشد. در مورد آنتروپی بین نمونه شاهد و نمونه‌های حاوی آنتی اکسیدان تفاوت معنی‌دار وجود داشت و همبستگی بالایی بین روابط رگرسیونی مشاهده گردید ($R^2 < 0.9479$).

واژه‌های کلیدی: سینتیک اکسیداسیون، روغن سویا، اسید گالیک، رنسیمت

Study of the oxidation kinetic parameters affected by different concentrations of galic acid

Z Pourfallah^{*1}, A H Elhami Rad², S M Meshkani¹, M Nahardani¹ and M Mohamadi¹

Received: April 18, 2010

Accepted: September 8, 2012

¹ MSc Graduated, Department of Food Science and Technology, Islamic Azad University, Sabzevar Branch, Sabzevar, Iran

² Assistant Professor, Department of Food Science and Technology, Islamic Azad University, Sabzevar Branch, Sabzevar, Iran

*Corresponding author: E mail: zahrapourfallah@yahoo.com

Abstract

In this study, oxidation kinetic parameters of soybean oil affected by three different concentrations of gallic acid antioxidants (100, 200 and 300 ppm) in comparison with a blank sample were studied by rancimat in three different temperatures 383, 403 and 423 k. Factors calculated in this study were temperature coefficient (T_{coeff}), special constant reaction (A), activation energy (E_a), enthalpy (ΔH^{++}) and entropy (ΔS^{++}). They were estimated based on the Arrhenius, Vant Hoff and the Eyrings equations. Generally, reaction constant of oxidation increased with the rise of temperature, and there was a logarithmic relationship between them. Stability of the oil was also increased by the increase of the antioxidant concentration. The results indicated that there was a significant difference among the temperature coefficient, enthalpy, activation energy and special constant reaction values in the blank sample and samples with antioxidant. No difference was observed between samples with 200 and 300 ppm antioxidant. Concerning the entropy, there was a difference between the blank sample and samples with antioxidant, and a high correlation was observed among the regression relations ($0.9479 < R^2 < 1$).

Keywords: Oxidation kinetic, Soybean oil, Gallic acid, Rancimat

سینتیکی در سیستم‌های غذایی که در سالهای اخیر مورد توجه قرار گرفته عمدتاً به خاطر دستیابی به بهینه سازی و یا دست کم ایجاد ماکریزیم کیفیت در غذاهای تولید شده در طی فرایند و یا نگهداری می‌باشد. به علاوه یک شناخت مناسب از سینتیک شیمیایی می‌تواند ایجاد کننده تدبیر برای فرمولاسیون و غنی سازی محصولات غذایی باشد اینها به منظور محافظت از مواد مغذی و ترکیبات موجود در سیستم‌های غذایی و از سوی دیگر کاهش ظهور محصولات تجزیه شده نامطلوب است (ویولت و هاوکس ۲۰۰۷). شناخت سینتیک واکنش‌ها به عنوان مقدمه‌ای جهت شناخت عوامل موثر بر

مقدمه

روغن‌ها از اجزای مهم غذایی انسان هستند که بصورت مستقیم و یا به شکل مخلوط با اجزای دیگر مورد استفاده قرار می‌گیرند. اکسیداسیون و فساد روغن‌ها اگر از حد خاصی تجاوز کند، روغن یا ماده حاوی آن را برای مصرف غذایی غیر قابل استفاده می‌کند. از طرفی برخی از ترکیبات بوجود آمده در اثر اکسیداسیون برای سلامت انسان زیان آور می‌باشد (هامن ۱۹۹۴).

سینتیک شیمیایی شامل مطالعه سرعت در هر واکنش شیمیایی در طی فرایند می‌باشد. نواحی

مشکلاتی نیز می باشد (کووالاسکی و همکاران ۲۰۰۰) به همین خاطر رنسیمت بواسطه سهولت استفاده و تجدید پذیر بودن آن امروزه بصورت یک روش عمومی در آمده است (فرهوش ۲۰۰۷) با این آزمون می توان دوره‌ی پایداری^۱ (IP) یا شاخص پایداری اکسایشی^۷ (OSI) روغنها که زمان قبل از اکسیداسیون تند روغنها می باشد را تعیین نمود. OSI را می توان در دماهای مختلف تعیین کرد و می توان پایداری اکسیداتیو نسبی روغن‌ها و چربی‌ها را در رنج‌های دمایی ارزیابی نمود. نتایج پایداری روغن ارزیابی شده بوسیله رنسیمت همبستگی بالا با روش DSC و PDSC و ESR داشته است. بررسی پایداری اکسیداتیو روغنها بر پایه رنسیمت و DSC ارتباط قوی داشته و نتایج مشابهی را می دهد (کووالاسکی و همکاران ۲۰۰۴).

تن و همکاران (۲۰۰۲) پایداری ۱۲ نوع روغن خوارکی را بر پایه رنسیمت و DSC بدست آورده و نشان دادند که همبستگی قوی بین OSI با DSC وجود دارد.

ولادکو و همکاران (۲۰۰۴) از روش ESR برای ارزیابی پایداری اکسیداتیو ۱۱ نوع روغن نباتی استفاده کرده و نتایج بدست آمده را با روش رنسیمت و DSC مقایسه کردند و همبستگی خطی قوی بین این ۲ روش یافتند. تعدادی از پارامترهای سینتیکی تحت شرایط رنسیمت قابل محاسبه می باشد. داده‌های سینتیکی برای تشخیص نوع روغن نباتی و برای توصیف تفاوتها و شباهتهای روغن‌ها استفاده می شود. این داده‌ها برای پیش‌بینی پایداری اکسیداتیو روغنهای نباتی تحت فرایند حرارتی مختلف انبارمانی و شرایط توزیع استفاده می گردد (تن و همکاران ۲۰۰۱). تمام مجموعه داده‌های سینتیکی آزمایش شده و محاسبه شد.

^۶. induction period

^۷. oxidative stability index

فرایندها و پیش‌بینی تغییرات ناشی از فرایند استفاده می گردد (الهامی راد و یاورمنش ۱۳۸۵). تعدادی از پژوهشگران بر مبنای تئوری سینتیک، بین زمان ماندگاری و درجه حرارت رابطه خطی بدست آوردند و همچنین از طریق انرژی اکتیواسیون، تغییر کیفیت ماده غذایی را در طی زمان ماندگاری محصول پیش‌بینی نمودند (لای و هلدمان ۱۹۸۲).

جهت پیش‌بینی مراحل مختلف اکسیداسیون، می توان از روش‌های مختلف مانند اندیس پراکسید، اندیس آنزیدین، اندیس تیوباربیتوریک و روش‌های تسريع شده استفاده نمود و پارامترهای سینتیکی مربوطه را محاسبه کرد و از این پارامترها می توان زمان ماندگاری را پیش‌بینی نمود (فریزیر و وستاف ۱۹۹۴).

تعدادی از روش‌های تسريع شده برای بررسی پایداری روغن‌ها و چربی‌ها گشترش یافته است از جمله این روش‌ها می توان رنسیمت^۱ (فرهوش ۲۰۰۷، کیا و همکاران ۱۹۹۳، تورو-وازکوئز و همکاران ۱۹۹۳)، کالریمتری اسکنی افتراقی^۲ (DSC)، کالریمتری اسکنی افتراقی تحت فشار^۳ (PDSC)، کووالاسکی و همکاران (۲۰۰۴) و روش اسپکتروسکوپی رزونانس الکترونی اسپین بر اساس تکنیک گیر اندازی اسپین^۴ (ESR) (ولادکو و همکاران ۲۰۰۴) را نام برد. همه‌ی این روش‌های تسريع شده مستلزم بالا بودن دما می باشد زیرا دریافت شده که افزایش سرعت واکنش‌ها تحت تاثیر دما می باشد (رین هوت ۱۹۹۱). روش اکسیژن فعال^۵ (AOM) یکی از روش‌هایی است که در گذشته و امروزه در حد وسیع استفاده می گردد. AOM با وجود اینکه روش متداولی است اما دارای نقص‌ها و

^۱. Rancimat

^۲. Differential scanning calorimetry

^۳. Pressure differential scanning calorimeter

^۴. electron spin resonance spectroscopy

^۵. active oxygen method

به مدت ۲۰ دقیقه توسط همزن برقی تکان داده، بعد از گذشت این مدت گلیسروول ته نشین شده و لایه رویی آن که همان استرهای متیلی محلول در هپتان می‌باشد، جهت تعیین نوع اسیدهای چرب و میزان آنها به دستگاه گاز کروماتوگراف تزریق شدند (تالروس ۷۰۰).

مشخصات دستگاه GC

Younglin ACME6000 مدل Younglin ساخت کره جنوبی و شدت جریان ۰/۰ میلی لیتر در دقیقه و مشخصات ستون 120 m , $0/25\text{ mm}$ و $0/25\text{ }\mu\text{m}$ هلیوم و دمای تزریق 280°C (برنامه دمایی: 100°C برای ۱ دقیقه، افزایش تا 220°C (3°C/min) و افزایش از 220°C تا 280°C (5°C/min) و آشکارساز یونیزاسیون شعله بود.

تعیین اندیس پراکسید به روش تیتراسیون یدومتری

طبق روش AOAC ۴۱.۱.۲۱ (۲۰۰۵) با شماره ۴۱.۱.۲۱ طبق روش AOAC (۲۰۰۵) با شماره ۴۱.۱.۲۱ تعیین شد.

محاسبه پارامترهای سینتیک اکسایش
یکی از مهمترین کاربردهای روش آرنیوس^۱ برای مدل سازی، بررسی اثر دما (T) بر حسب (K) بر مبنای سرعت ویژه واکنش (K) بر حسب (S⁻¹) است بدین صورت که او فرض کرده تعادلی بین ملکولهای خنثی و فعال وجود دارد و دیگر اینکه واکنش توسط حرارت تنها با ملکولهایی انجام می‌شود که از لحاظ انرژی فعالند. با استفاده از رابطه وانت هوف^۲، معادله کلاسیک زیر بدست می‌آید

$$\ln(k) = \ln(A) - \frac{(Ea)}{RT} \quad (1)$$

طبق تئوری انرژی فعال سازی، مقدار (A) ثابتی است که تحت عنوان ثابت ویژه واکنش^۳ (S⁻¹) نامیده می‌شود. E_a انرژی فعال سازی^۴ (kj.mol⁻¹)

اکسیداسیون روغنها تحت شرایط رنسیمت نسبتاً سریع انجام می‌گیرد (کووالاسکی و همکاران ۲۰۰۵). آزمون رنسیمت، روش دستگاهی سریع، خودکار و تکرارپذیری است که پایداری سیستمهای لیپیدی را تحت شرایط تسريع شده (دماهای بالا و هوا دهی) برحسب اندازه گیری میزان اسیدهای آلی فرار (عمدتاً اسید فرمیک) ناشی از اکسایش لیپیدی و معرفی کمیتی تعیین می‌نماید (راییز و همکاران ۲۰۰۸). در این پژوهش که با هدف بررسی و تعیین پارامترهای سینتیک اکسایش روغنها برپایه آزمون رنسیمت صورت پذیرفت، به بیان تاثیر غلظت‌های مختلف انتی اکسیدان بر روی انرژی پتانسیل واکنش اکسیداسیون پرداخته شده است.

مواد و روش‌ها

مواد اولیه

روغن سویای تصفیه، رنگبری و بوگیری شده فاقد هرگونه آنتی اکسیدان از واحدهای صنعتی محلی خردیداری شد و تا زمان آزمون در دمای $4-40^{\circ}\text{C}$ در تاریکی نگهداری شد. حالهای و مواد شیمیایی از شرکت مرک آلمان خردیداری گردید.

آزمون رنسیمت

سه گرم نمونه در معرض دماهای 40°C , 38°C و 42°C (K) با جریان مداومی از هوا با سرعت ۲۰ لیتر بر دقیقه توسط دستگاه رنسیمت مدل ۷۴۳ متروم مورد آزمون قرار گرفت (گوردون و همکاران ۱۹۹۴).

آنالیز GC

متیل استر کردن نمونه روغن

جهت متیله کردن اسیدهای چرب موجود در نمونه روغن، ۰/۱ گرم از روغن مورد آزمایش را با ۳ میلی لیتر هپتان نرمال و ۰/۰۵ میلی لیتر محلول متانولی هیدروکسید پتاسیم ۲ نرمال مخلوط کرده، محلول را

^۱. Arrhenius

^۲. Vant Hoff

^۳. Frequency factors

^۴. Activation energies

اشباع^۶ (MUFA)، اسیدهای چرب چند غیر اشباع^۷ (PUFA) و نسبت اسید چرب چند غیر اشباع به اسید چرب اشباع (PUFA/SCF) در روغن به ترتیب ۱۸/۵۸، ۲۴/۰۵، ۵۷/۳۶ و ۳/۱۴ درصد بود.

این مقادیر نشانه غیر اشباعیت بالای این روغن بوده که نیازمند بکارگیری ترکیبات جلوگیری کننده از اکسیداسیون در طی نگهداری می باشد و مقدار اندیس پراکسید در روغن نشان دهنده تازگی و آغاز نشدن فعالیت اکسیداتیو روغن بوده است (جدول ۱). سرعت واکنش‌ها معمولاً به غلظت مواد واکنش دهنده بستگی دارد. برای اغلب واکنش‌ها، بالا بودن غلظت مواد واکنش دهنده به معنی بالا بودن سرعت واکنش است این اثر را بر مبنای نظریه‌ی برخورد می توان تبیین کرد.

و R ثابت گازها ($\text{J}^{-1}\cdot\text{mol}^{-1}\cdot\text{K}^{-1}$) $(8/۳۱۴۳)$ می باشد. انرژی فعال سازی را به عنوان حداقل انرژی که ملکول باید قبل از انجام واکنش داشته باشد می توان تعبیر کرد. معادله ایرینگ^۱ به صورت زیر است.

(۲)

$$\ln(k) = \ln(k_B/h) + (\Delta S^{++}/R) - (\Delta H^{++}/RT) + \ln(T) \quad (۲)$$

آنالیپی^۲ و h ثابت پلانک ($\text{J}\cdot\text{s}^{-۱} \times ۱۰^{-۳۴}$)، k_B ثابت بولتزمان ($\text{J}\cdot\text{K}^{-۱} \times ۱۰^{-۲۳}$)، ΔS^{++} آنتروپی^۳ است که از این معادله برای محاسبه آنتروپی و آنتالپی و موازنۀ آن در واکنش‌های مواد غذایی استفاده می شود. مقدار K از معکوس OSI بدست می آید ($\text{h}^{-۱}$). از شب خط معادله

$$\ln(k) = a(T) + b \quad (۳)$$

مقدار ضریب دما^۴ (T_{coeff} ، $\text{K}^{-۱}$) بدست می آید و از معادله

$$\ln(k) = a(1/T) + b \quad (۴)$$

مقادیر Ea و A محاسبه می شود و از معادله

$$\ln(k/T) = a(1/T) + b \quad (۵)$$

مقادیر ΔH^{++} و ΔS^{++} محاسبه گردید.

آنالیز آماری

تجزیه و تحلیل و آنالیز رگرسیون توسط نرم افزار spss نسخه ۱۶ انجام و برای مقایسه میانگین از آزمون دانکن استفاده شد و p در سطح 0.05 معنی دار بود. کلیه ای آزمایشات در ۳ تکرار انجام گردید.

نتایج و بحث

پروفایل اسیدهای چرب نمونه‌ی روغن سویا در جدول شماره ۱ آورده شده است. مقدار اسیدهای چرب اشباع^۵ (SFA)، اسیدهای چرب تک غیر اشباع^۶

^۱. Eyring s

^۲. Activation enthalpies

^۳. Activation entropies

^۴. Temperature coefficients

^۵. Saturated fatty acids

^۶. Monounsaturated fatty acids

^۷. Polyunsaturatedfatty acids

جدول ۱- ترکیب اسید چرب، آنتی اکسیدان و اندیس پراکسید نمونه روغن

درصد	اسید چرب
۰/۱۶۸	C _{14:0}
۱۱/۵۲۵۶	C _{16:0}
۰/۱۷۴۱	C _{16:1}
۰/۲۳	C _{17:0}
۰/۲۳۷۶	C _{18:0}
۲۲/۳۱۸۸	C _{18:1}
۴۸/۴۳۲	C _{18:2}
۰/۶۰۸۲	C _{20:0}
۰/۰۵۹۲	C _{20:1}
۰/۸۱۳	C _{22:0}
-	آنتی اکسیدان
۰/۶۹۳	اندیس پراکسید (meqO ₂ /kg oil)

نتیجه واکنش سریع است. برای هر واکنش شیمیایی، معادله ای ریاضی به نام معادله سرعت یا قانون سرعت می توان نوشت که غلظت مواد واکنش دهنده را به سرعت واکنش مربوط می سازد.

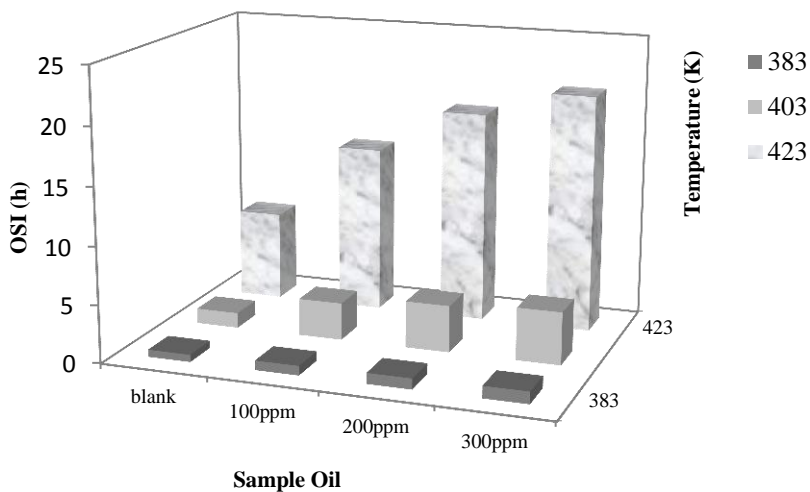
غلظت بالا به این معنی است که تعداد زیادی از ملکول‌ها در حجم معینی وجود دارد. در این شرایط، برخورد بین ملکول‌های واکنش دهنده که منجر به تبدیل آنها به فراورده می شود نسبتاً بالاست و در

جدول ۲- مقاییر ثابت سرعت واکنش (k) برای نمونه‌ها در دمای مختلف

$k \times 10^7 (T^{-1})$				
۲۰۰ ppm	۲۰۰ ppm	۱۰۰ ppm	شاهد	دما (k)
۴۸/۴۱ ^d	۵۴/۳۱ ^c	۶۸/۸۳ ^b	۱۲۸/۵۳ ^a	۲۸۳
۲۱۸/۸۲ ^d	۲۴۶/۱۰ ^c	۳۰۸/۰۰ ^b	۷۵۵/۶۶ ^a	۴۰۳
۹۵۵/۴۱ ^d	۱۰۶۳/۸۲ ^c	۱۲۱۴/۵۷ ^b	۱۵۹۵/۴۷ ^a	۴۲۳

چرب آنها را از چرخه اکسیداسیون خارج می‌سازند و مشاهده گردید که بین غلظت‌ها در دمای یکسان از نظر آماری اختلاف معنی داری وجود دارد. شاخص پایداری روغن تحت تاثیر افزایش دما و غلظت آنتی اکسیدان در شکل ۱ نشان می‌دهد که با افزایش دما و کاهش غلظت آنتی اکسیدان، OSI کاهش می‌یابد.

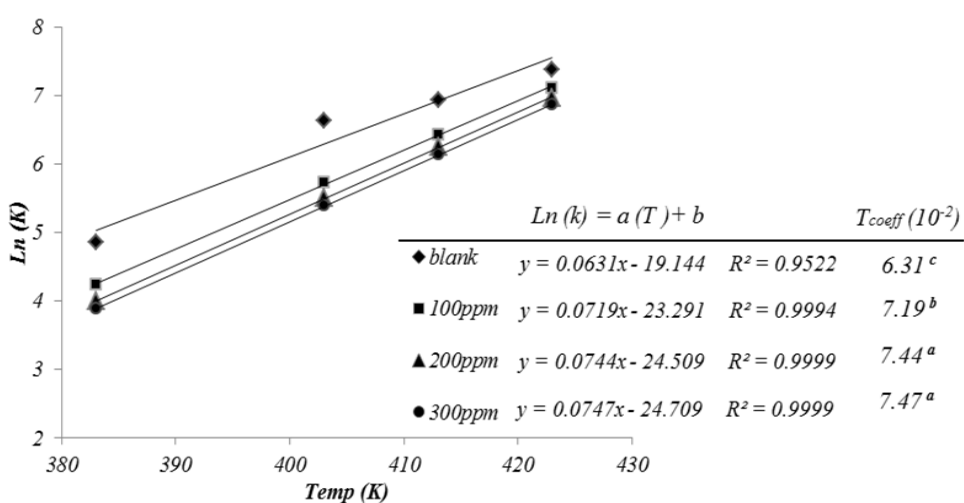
از نسبت سرعت واکنش به غلظت واکنش دهنده‌ها، ثابت تناسب یا ثابت سرعت (k) تعریف می‌شود. مقدار عددی k به دما و عبارت‌هایی که سرعت بر مبنای آنها بیان می‌شود نیز بستگی دارد. ثابت سرعت واکنش نمونه‌ها در جدول ۲ بیان‌گر کاهش سرعت اکسیداسیون در اثر افزایش غلظت آنتی اکسیدان می‌باشد. آنتی اکسیدان‌ها ترکیبات رادیکالی هستند که در اثر واکنش با رادیکال‌های آزاد اسید



شکل ۱ - رابطه افزایش دما و غلظت بر OSI

برخورددهای مواد واکنش دهنده با یگدیگر می‌باشد. بررسی‌های انجام گرفته روی روغن‌های نباتی مقادیر T_{coeff} در رنج $7/40 \times 10^{-2}$ تا $7/95 \times 10^{-2}$ را نشان داد (فرهوش و همکاران، ۲۰۰۸).

مقادیر در T_{coeff} در شکل ۲ گزارش گردید. با مطالعه روند اکسیداسیون، یک افزایش نرخ اکسیداسیون با افزایش دما در نمونه‌های روغن مشاهده شد که به دلیل افزایش غلظت و تعداد



شکل ۲- رابطه لگاریتمی بین مقادیر K و T در نمونه‌های روغن

انرژی تعییه کرد که ملکولها باید قبل از انجام واکنش داشته باشند. در واکنش‌ها ضریب $e^{-E/RT}$ بیانگر کسری از ملکولهای است که دارای انرژی فعال سازی لازم برای یک واکنش موفقیت آمیزند. اکسیداسیون

ضریب دما در نمونه شاهد با نمونه ۱۰۰ ppm و دو نمونه دیگر اختلاف معنی داری از خود نشان داد اما بین نمونه‌های ۲۰۰ و ۳۰۰ ppm اختلافی مشاهده نشد. انرژی فعال سازی را می‌توان به عنوان حداقل

اکسیدانها مقدار آنتالپی افزایش می‌یابد. شاید به این دلیل است که انرژی صرف شده برای تولید رادیکالهای آزاد (که شروع کنندهٔ واکنش‌های اکسیداسیونی هستند و توسط آنتی‌اکسیدان‌ها بلوکه می‌گردد) باید بیشتر از حالت بدون حضور آنتی‌اکسیدان باشد تا واکنش‌های زنجیری آغاز گردد. مقادیر آنتالپی بدست آمده از نمونه شاهد با نمونه‌های حاوی آنتی‌اکسیدان و همینطور غلظت ۱۰۰ ppm با ۲ غلظت دیگر از خود اختلاف آماری نشان دادند.

در دیگر بررسی‌ها روی روغن‌های گیاهی، مقادیر آنتالپی برای روغن کانولا، سویا، آفتابگردان، ذرت و زیتون به ترتیب به صورت ۸۶/۷۸، ۸۶/۷۸، ۸۹/۲۰، ۸۷/۵۲، ۸۷/۵۲ و ۸۴/۹۲ (kJ/mol) محاسبه شده (فرهوش و همکاران ۲۰۰۸). آنتروپی را می‌توان میزان آشفتگی یا بی‌نظمی یک سیستم تعبیر کرد. مقادیر منفی ΔS^{++} نشان می‌دهد که کمپلکس فعال از ملکول واکنش دهنده‌ها منظم‌تر است (فرهوش و همکاران ۲۰۰۷). این نشان می‌دهد که واکنش‌های اکسیداسیون، خودبخودی نمی‌باشد و در جهت افزایش نظم پیش می‌رود. در مقادیر آنتروپی بین نمونه شاهد و سه نمونه دیگر اختلاف معنی‌داری مشاهده شد اما بین سه غلظت ۱۰۰ و ۲۰۰ و ppm ۳۰۰ اختلافی مشاهده نشد. مطالعات انجام شده توسط محققین بر روی پایداری اکسیداتیو آفتابگردان و سویا بوسیلهٔ رنسیمت، آنتالپی و آنتروپی را به ترتیب $84 \text{ kJ}\cdot\text{mol}^{-1}$ و $-42/8 \text{ J}\cdot\text{mol}^{-1}\cdot\text{K}^{-1}$ نشان داده‌اند (کووالاسکی و همکاران ۲۰۰۴).

چربی‌ها توسط مکانیسم زنجیره‌ای رادیکالی رخ می‌دهد که از ۳ مرحله آغازین انتشار و پایانی تشکیل شده است. این فرایندها غالباً شامل مجموعه‌ای از واکنش‌های پیچیده می‌باشند. آنتی‌اکسیدان‌ها حداقل انرژی مورد نیاز برای انجام واکنش را افزایش می‌دهند که از این طریق واکنش را با طولانی‌تر کردن به تاخیر می‌اندازند. در واقع فعالیتی متفاوت با کاتالیزور و حتی عکس آنرا ایفا می‌کند. این ترکیبات در طی واکنش مصرف می‌شوند و تغییراتی در آنتالپی واکنش ایجاد می‌کنند. پژوهشگران مقادیر E_a را برای روغن کانولا، سویا، آفتابگردان، ذرت و زیتون به ترتیب $89/94$ ، $92/42$ ، $86/86$ و $88/14$ (kJ/mol) بدست آورده‌اند (کووالاسکی و همکاران ۲۰۰۴).

ثابت A به ضریب فرکانس مشهور است و در برگیرنده سایر عوامل موثر بر سرعت واکنش، مانند فرکانس برخوردهای ملکولی و شرایط هندسی لازم برای جهت گیری ملکولهای برخورد کننده می‌باشد. مقدار E_a تحت تاثیر درجه غیر اشباعیت روغنها می‌باشد. هر چه روغن اشباع تر باشد E_a بالاتری خواهد داشت و مقاومت به اکسیداسیون افزایش می‌یابد (جدول ۱) (ادواریا و همکاران ۲۰۰۰). مقادیر E_a و A برای نمونه‌ها در جدول ۳ گزارش شد. اختلاف معنی‌داری بین شاهد با نمونه‌های آنتی‌اکسیدان دار و نمونه ppm ۱۰۰ با ۲ غلظت دیگر مشاهده گردید.

پارامترهای معادلات رگرسیونی و ضرایب تبیین آنها در جدول ۳ گزارش گردید. یک همبستگی بالا بین پارامترهای رگرسیونی مشاهده شد. در واقع ΔH^{++} مقدار انرژی است که باید ملکولهای واکنش دهنده (آغاز کننده واکنش اکسیداسیون) بر آن غلبه کنند. ΔH^{++} به قدرت اتصالاتی از واکنش دهنده‌ها بستگی دارد که شکسته می‌شوند تا حالت حد واسط و ناپایدار تشکیل گردد. در اثر حضور آنتی

جدول ۳- پارامترهای سینتیکی برای نمونه‌های روغن

پارامتر	Blank	۱۰۰ ppm	۲۰۰ ppm	۳۰۰ ppm
$\ln(k) = a(1/T) + b$				
a	-۱۰/۲۷۱	-۱۱/۵۷۸	-۱۲/۰۴۳	-۱۲/۰۷۳
b	۳۱/۸۱۵	۳۴/۴۸۲	۳۵/۴۲۲	۳۵/۳۸۴
R^2	۰/۹۵۹۹	۱	۰/۹۹۹۶	۰/۹۹۹۵
$Ea[\text{kJ.mol}^{-1}]$	۸۰/۳۹۶۱ ^c	۹۶/۲۶۲۹ ^b	۱۰۰/۱۲۹۱ ^a	۱۰۰/۳۷۸۵ ^a
$A[\text{h}^{-1}]$	$۶/۵۶۲۶ \times 10^{-۱۳}$ ^c	$۹/۲۶۰۹ \times 10^{-۱۴}$ ^b	$۲/۴۲۱۱ \times 10^{-۱۵}$ ^a	$۲/۳۲۸۵ \times 10^{-۱۵}$ ^a
$\ln(K/T) = a(1/T) + b$				
a	-۹۸۶۸/۰	-۱۱۶۷۱	-۱۱۶۴۱	-۱۱۱۷۶
b	۱۷/۹۰۹	۲۱/۴۷۹	۲۱/۰۱۷	۲۰/۰۵۶
R^2	۰/۹۵۶۴	۰/۹۹۹۵	۰/۹۹۹۶	۱
$\Delta H[\text{kJ.mol}^{-1}]$	۸۲/۰۴۹۷ ^c	۹۲/۹۲۰۶ ^b	۹۶/۷۸۶۸ ^a	۹۷/۰۳۶۱ ^a
$\Delta S[\text{Jmol}^{-1}\text{k}^{-1}]$	-۴۸/۶۴۱۳ ^b	-۲۶/۶۳۸۹ ^a	-۱۸/۹۶۴۸ ^a	-۱۸/۶۴۶۱ ^a

- مقایسه میانگین در هر سطر انجام شد

- حروف غیر مشترک در هر سطر اختلاف معنی دار در سطح ۰/۰۵ دارد

- آنژی: فعال سازی، A: ثابت ویژه واکنش، ΔH^{++} : آنتالپی، ΔS^{++} : آنتروپی می باشد

مطالعه روند اکسیداسیون، یک افزایش نرخ اکسیداسیون با افزایش دما دیده شد. انرژی فعال سازی، آنتالپی و آنتروپی به شدت تحت تاثیر نوع و غلظت آنتی اکسیدان قرار دارد با افزایش غلظت آنتی اکسیدان این مقادیر افزایش می یابند.

نتیجه گیری کلی

نتایج نشان داد که با افزایش دما، ثابت سرعت در تمام نمونه ها افزایش می یابد این افزایش در نمونه شاهد سرعت بیشتری داشت. رابطه لگاریتمی بین ثابت سرعت واکنش و دما مشاهده گردید. در

منابع مورد استفاده

الهامی راد اح، یاورمنش م، ۱۳۸۵. مبانی سینتیک واکنش ها در مواد غذایی. انتشارات بیهق. سیزوار.

Adhvaryu A, Erhan S Z, Liu Z S, perez J M, 2000. Oxidation kinetic studies of oils derived from unmodified and genetically modified vegetables using pressurized differential scanning calorimetry and nuclear magnetic resonance spectroscopy. Journal Thermochimica Acta. 364:87-97.

AOAC. 2005. Official Methods Of Analysis, 14 ed, Association of official analytical chemists: Washington. DC. USA.

Farhoosh R, 2007. The effect of operational parameters of the rancimat method on the determination of the oxidative measures and shelf-life prediction of soybean oil. Journal of the American Oil Chemists' Society. 84: 205-209.

Farhoosh R, Niazmand R, Rezaei M. Sarabi M. 2008. Kinetic parameter determination of vegetable oil oxidation under rancimat test conditions. European Journal of Lipid Science and Technology. 110:587-592.

Frank J, Geil J V, Fraso R, 1982. Automatic determination of oxidation stability of oil and fatty products. Food Technology. 36: 71-77.

- Frazier WC, Westhoff DC, 1988. Food Microbiology. 4th ed. McGraw Hill. Singapore.
- Gordon MH, Mursi EA, 1994. Comparison of oil stability based on the metrohm rancimat with storage at 20°C. *Journal of the American Oil Chemists' Society*. 71:649-651.
- Haumann B F, 1994. Antioxidants: Health implications still debated .INFORM .5:242-52.
- Kaya A, Tekin AR, 1993. Oner MD Oxidative stability of sunflower oil and olive oils: comparison between a modified oxygen method and long term storage. *Journal of Food Science and Technology*. 26:464–468.
- Kowalski B, Gruczynska E, Maciaszek K, 2000. Kinetics of rapeseed oil oxidation by pressure differential scanning calorimetry measurements. *European Journal of Lipid Science and Technology*. 337-341.
- Kowalski B, Ratusz K, Kowalski D, 2004. BW Determination of the oxidative stability of vegetable oils by differential scanning calorimetry and rancimat measurements. *Journal of Lipid Science and Technoogyl*. 165-169.
- Lai D, Heldman DR, 1982. Analysis of kinetics of quality changes in frozen foods. *Journal of Food Process Engineering*. 6:179-200.
- Nollet L M L, 2004. Hand book food analyz .volume2,2th ed. New york.240-242
- Polavka J, Paligova J, Cvengros J, Simon P, 2005. Oxidation stability of methyl esters studied by differential thermal analysis and rancimat. *Journal of the American Oil Chemists' Society*. 82:519-524.
- Reynhout G, 1991.The effect of temperature on the induction time of a stabilized oil. *Journal of the American Oil Chemists' Society*.68:983-984.
- Ruiz G M, Polvilla M N, Velasco J, Dobarganes C, 2008. Formation of oxidation compound in sunflower and olive oils under oxidative stability index conditions. *European Journal of Lipid Science and Technology*. 110:465-471.
- Tan C P, Che Man Y B, Selamat J, Yusoff M S A, 2001. Application of Arrhenius kinetics to evaluate oxidative stability in vegetable oils by isothermal differential scanning calorimetry. *Journal of the American Oil Chemists' Society*. 78:1133–1138.
- Tan C P, Che Man Y B, 2002. Recent developments in differential scanning calorimetry for assessing oxidative deterioration of vegetable oils. *Trends in Food Science & Technollogy*. 13: 312–318.
- Toro-Vazquez J F, Castillo A A, 1993. Hernandez-C RA multiple-variable approach to study corn oil oxidation. *Journal of the American Oil Chemists' Society*. 70:261–267.
- Tuleroose C I G, Kowalczyk A, sarritzu E, Cabras P, 2007. Determination of antioxidant compounds and antioxidant activity in commercial oil seeds for food use. *Food Chemistry*. 103:1494-1501.
- Velasco S, Andersen M L, Skibsted L H, 2004. Evaluation of oxidative stability of vegetable oils by monitoring the tendency to radical formation .A comparison of electron spin resonance spectroscopy with the rancimat method and differential scanning calorimetry. *Food Chemistry*. 85:623-632.
- Villota R, Hawkes J G, 2007. Reaction kinetics in food systems: Handbook of Food Engineering. CRC Press. chapter2. 125-126.